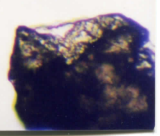
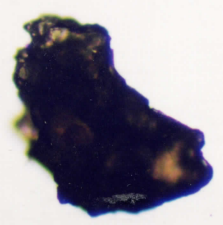
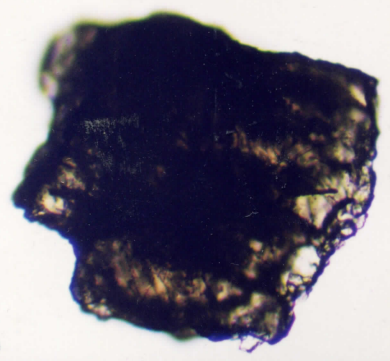
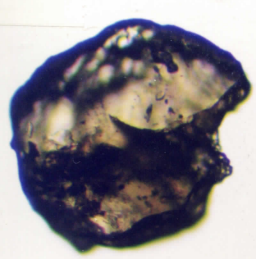
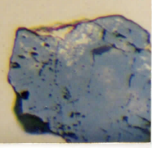
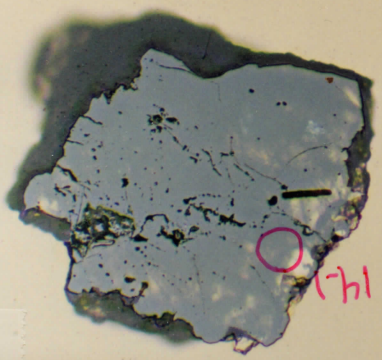
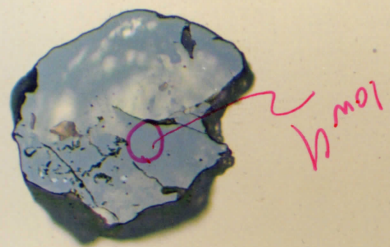
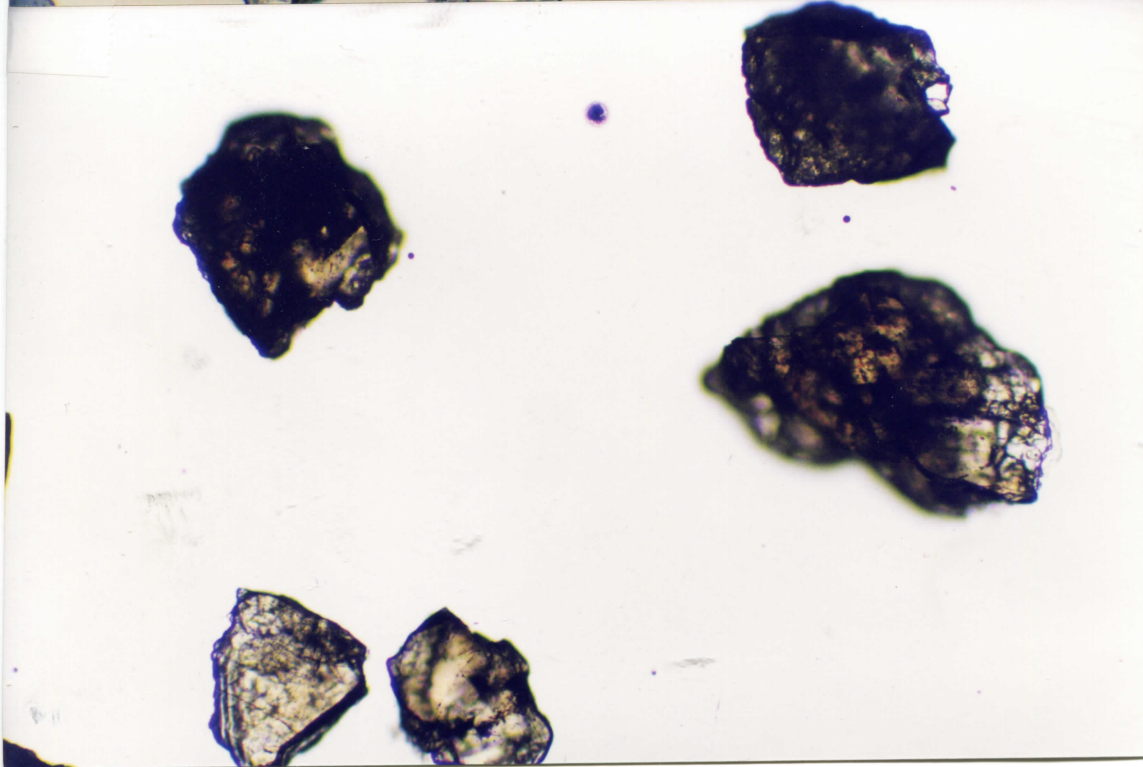
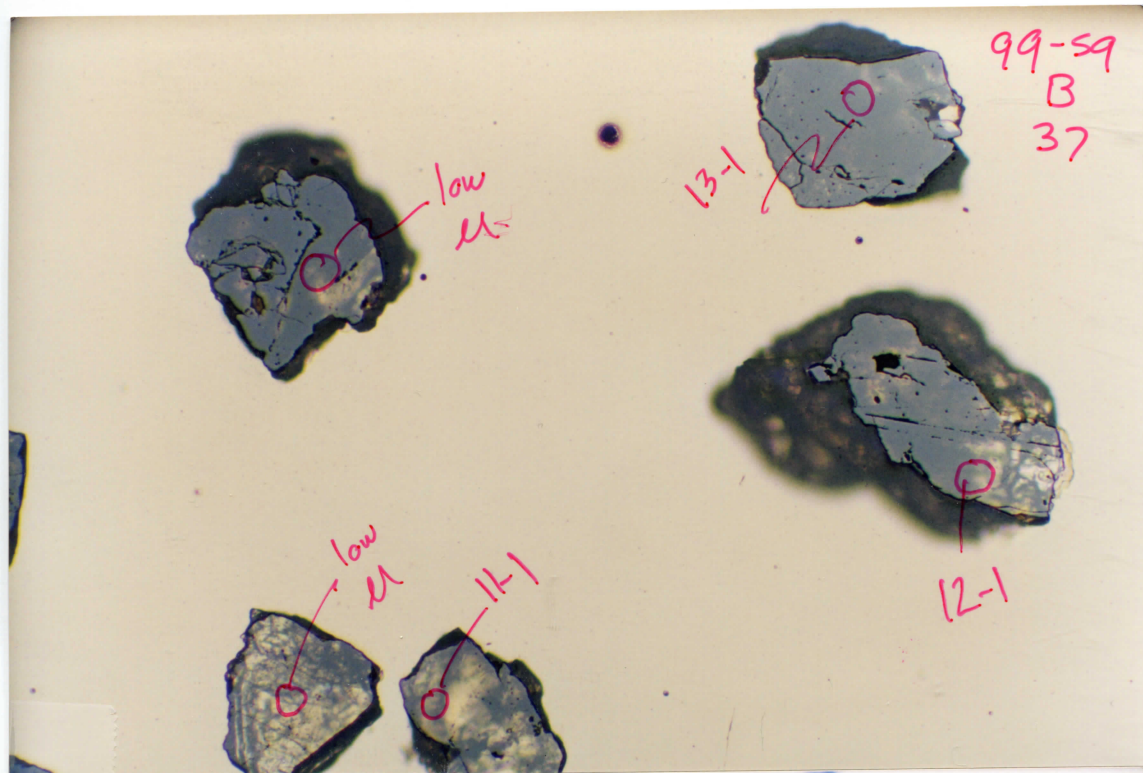


99-59
B
36



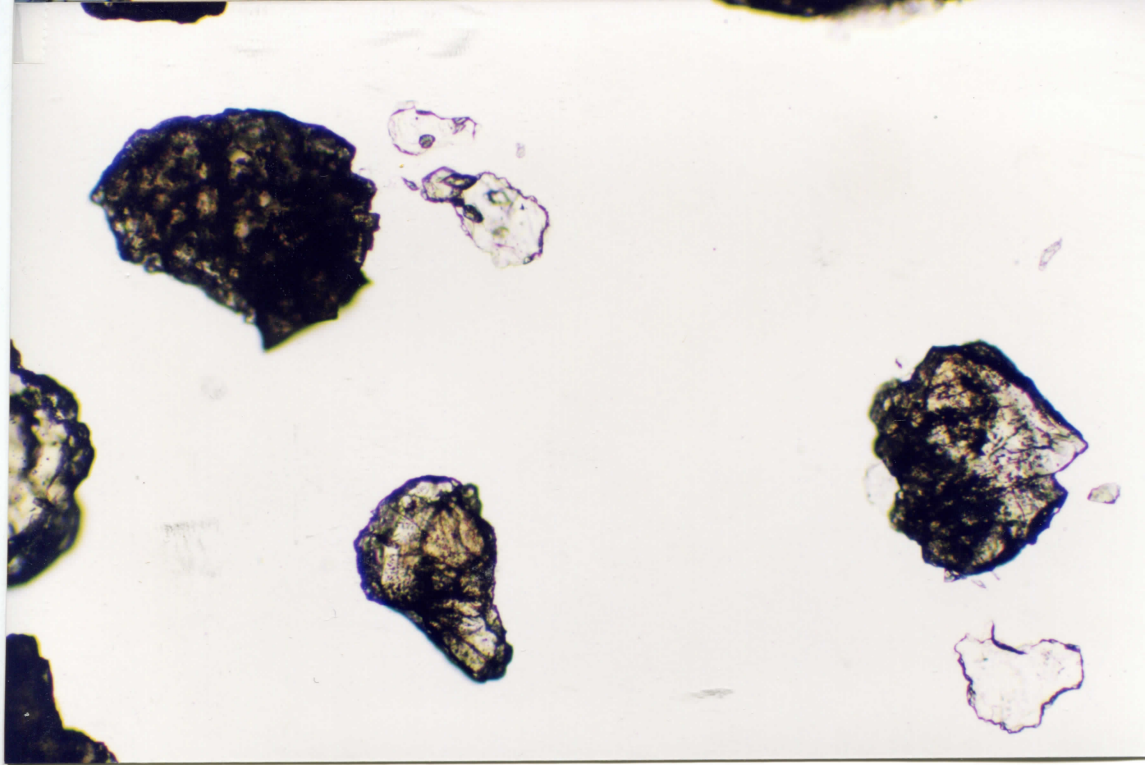
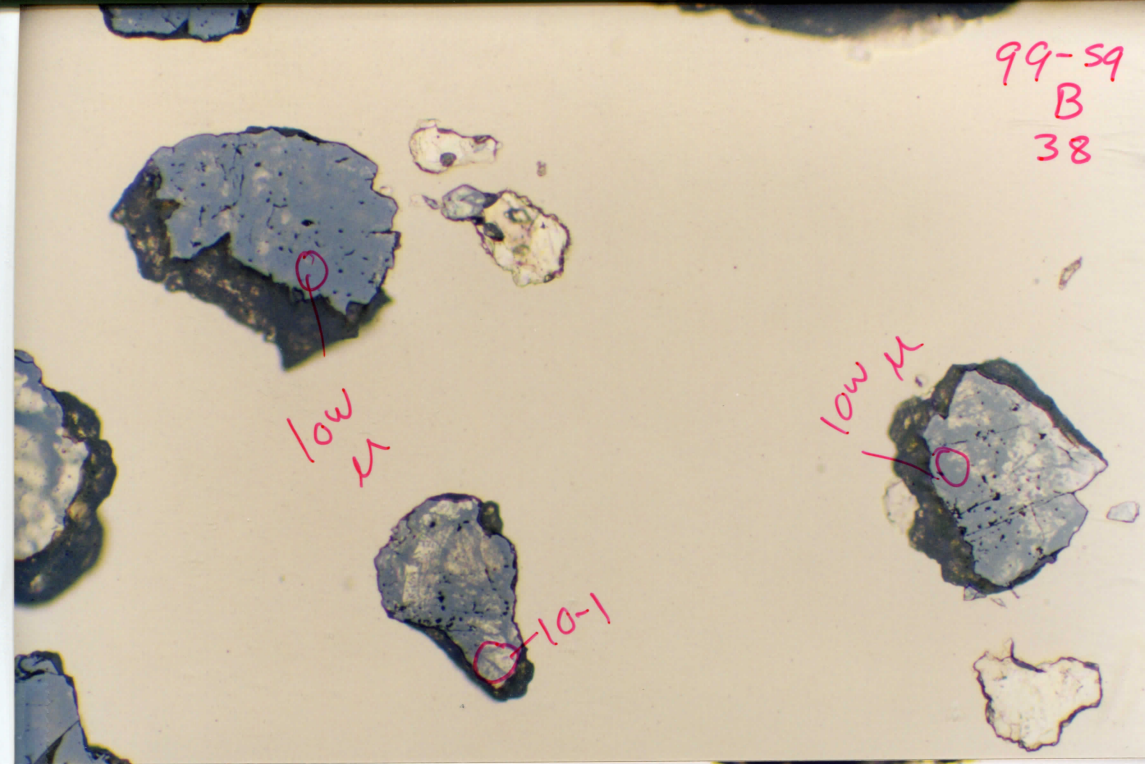


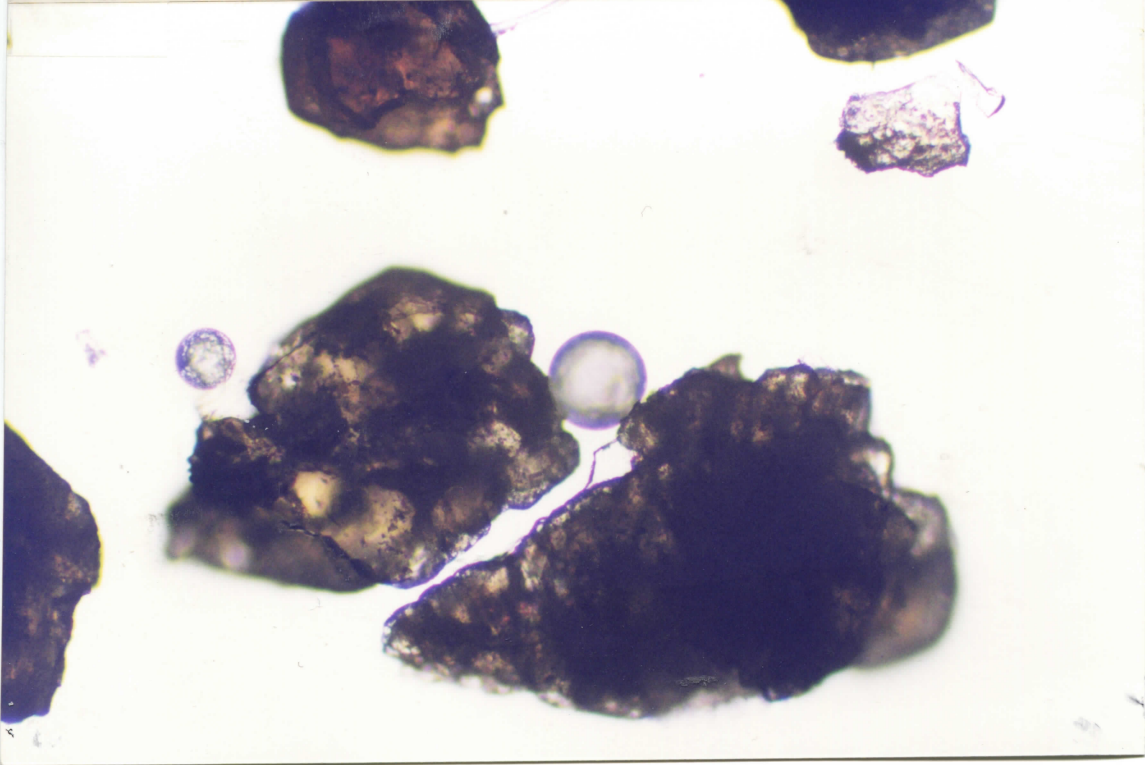
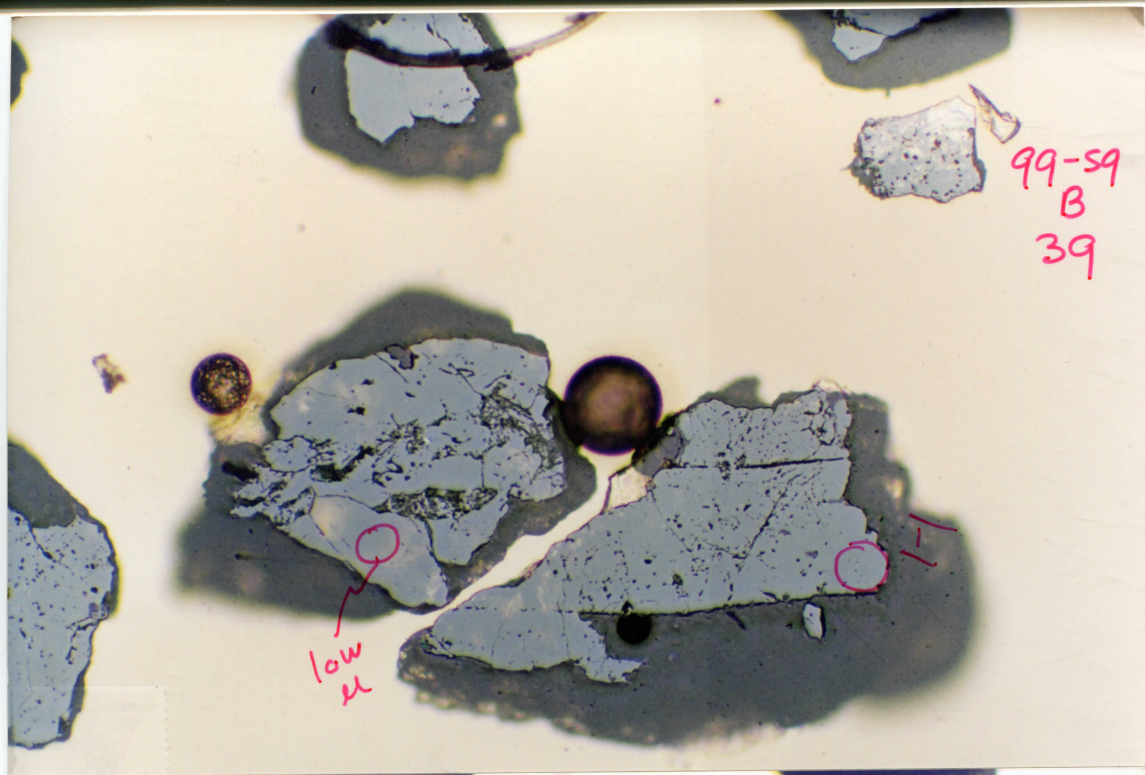
99-59
B
38

low μ

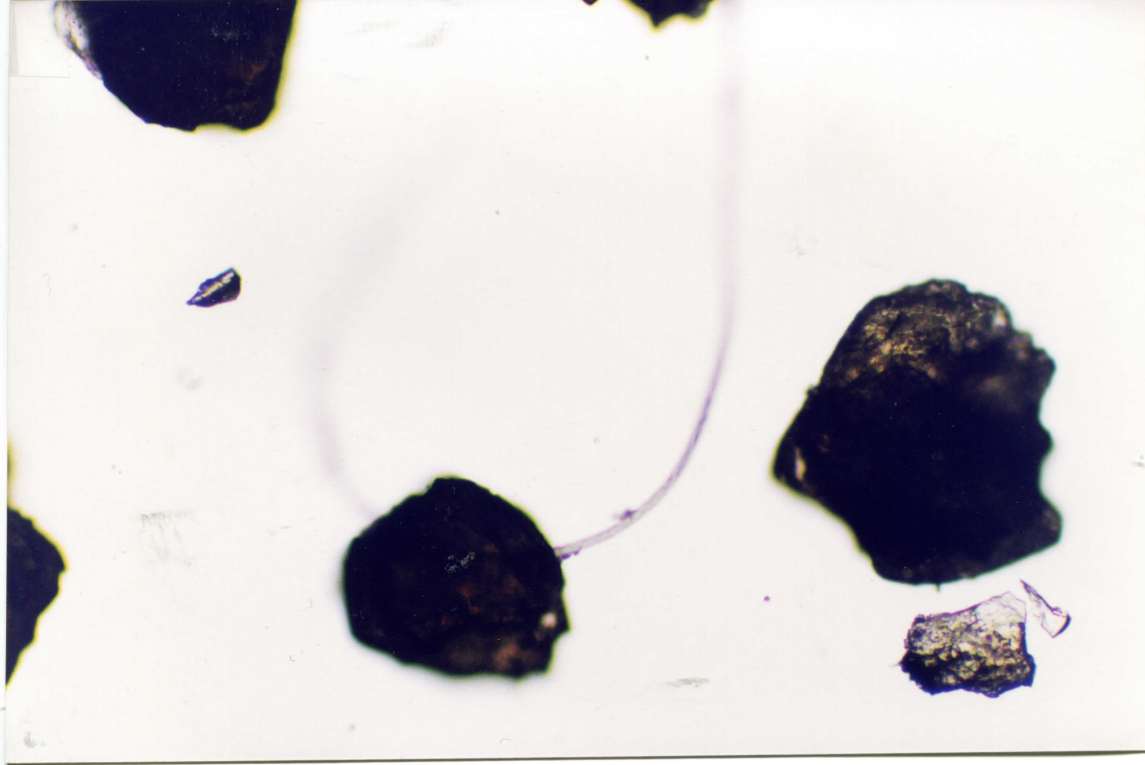
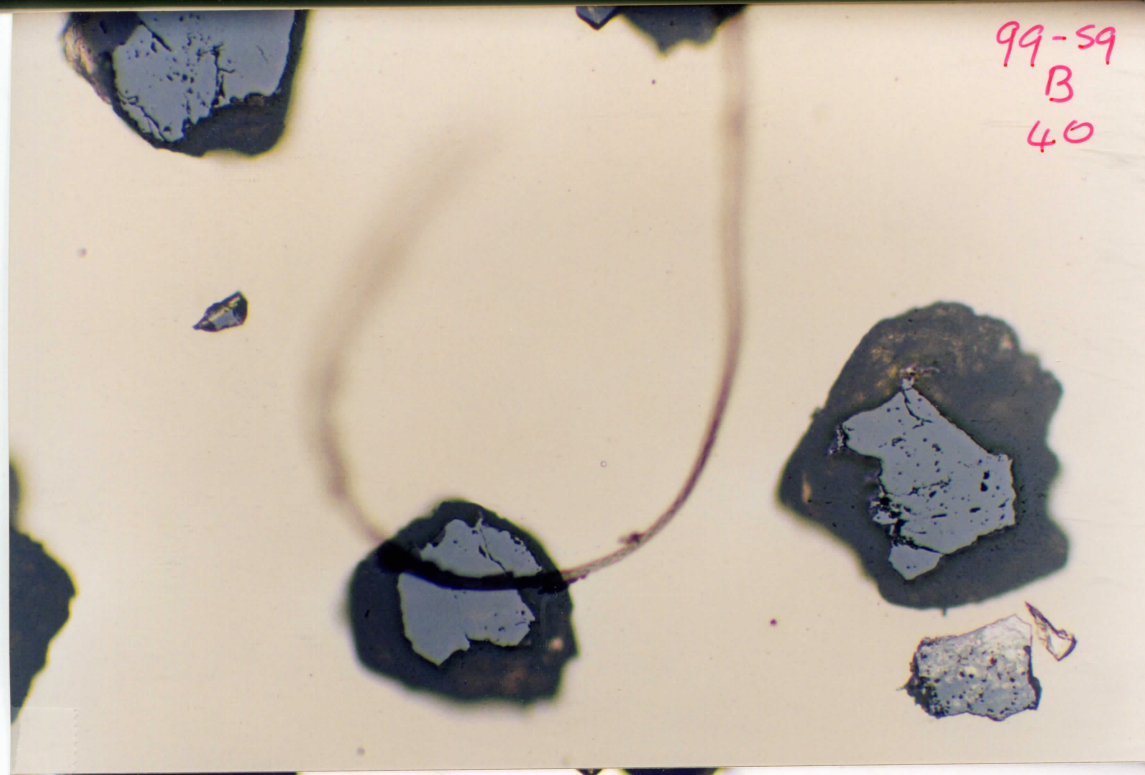
low μ

10-1

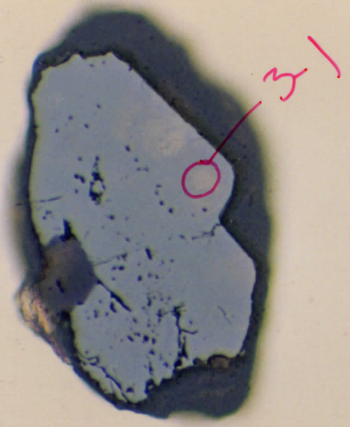




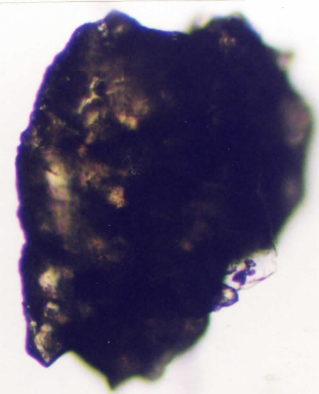
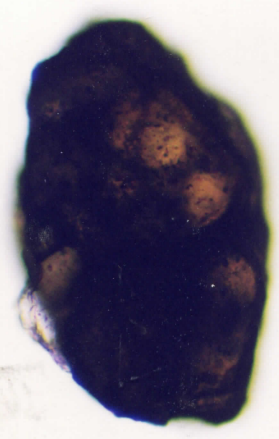
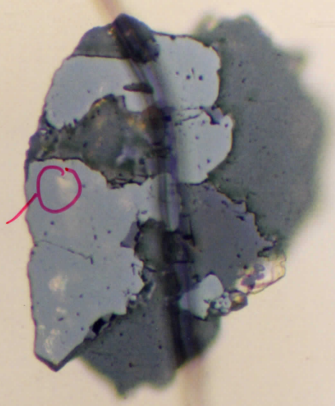
99-59
B
40



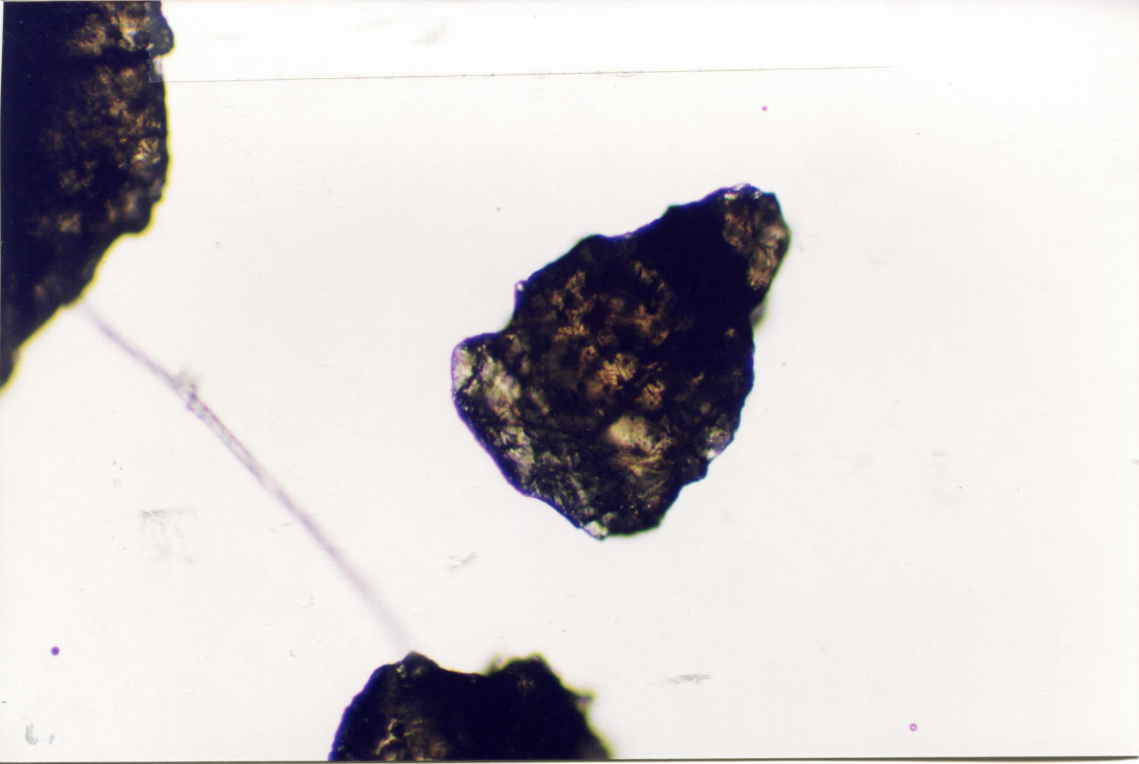
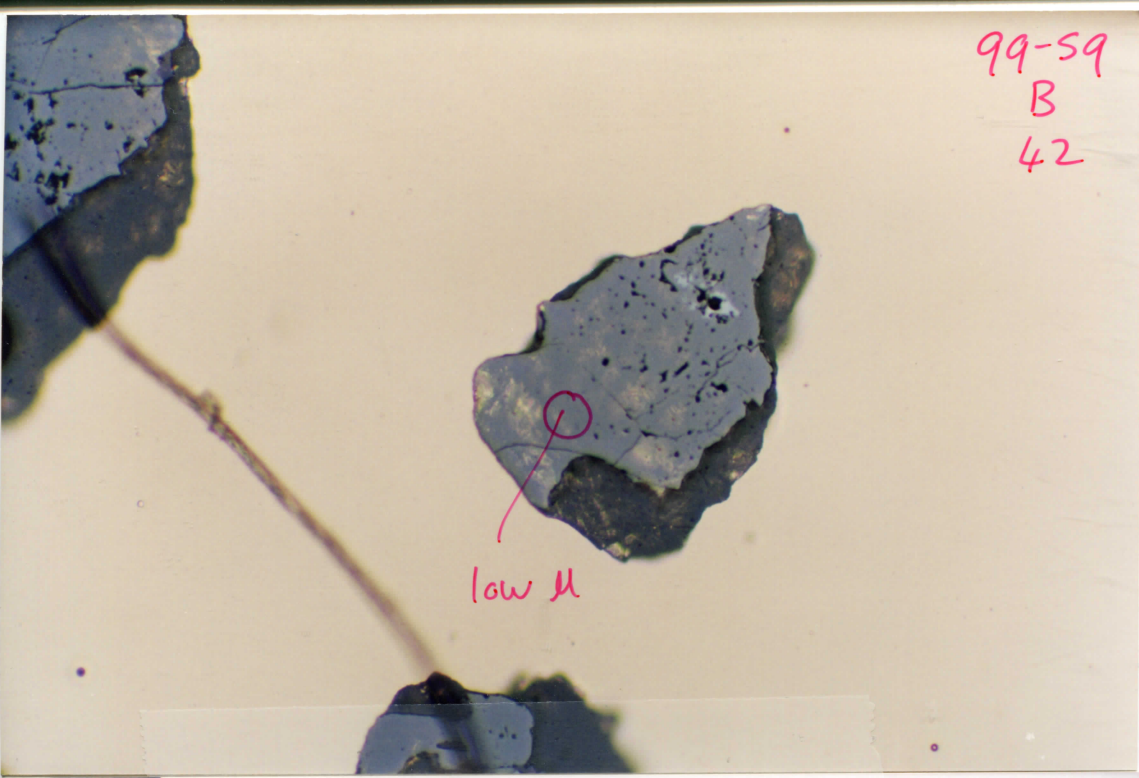
99-59
B
41



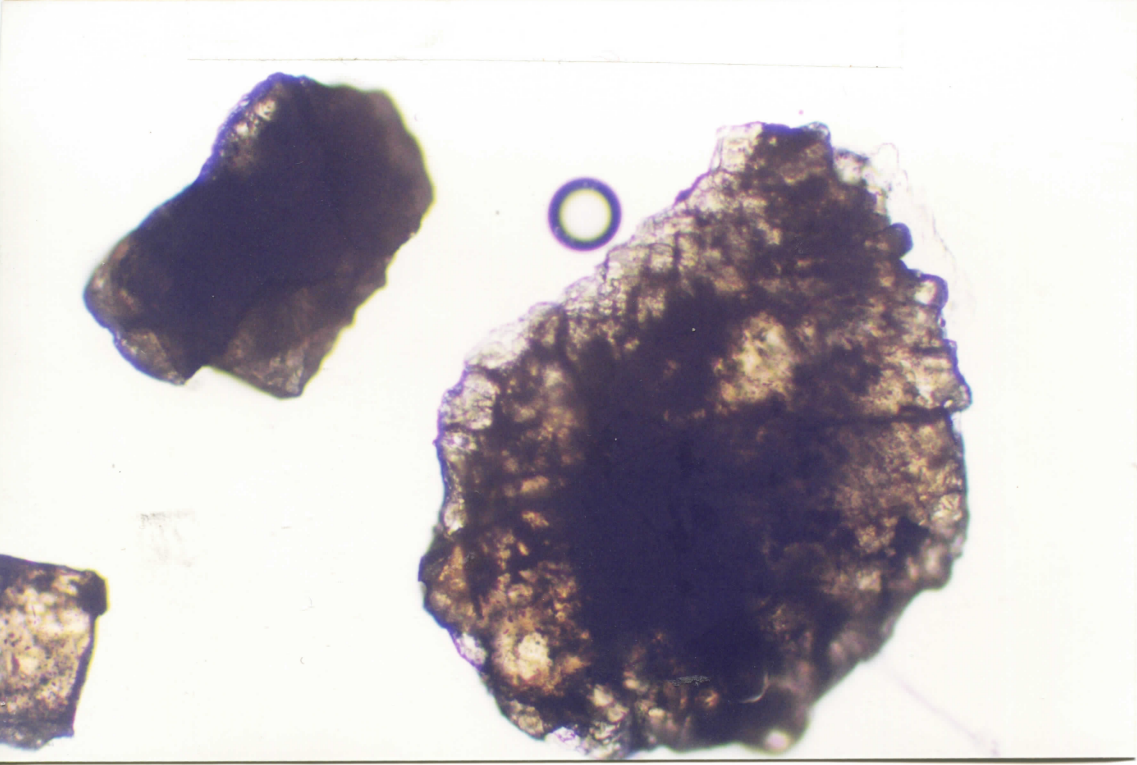
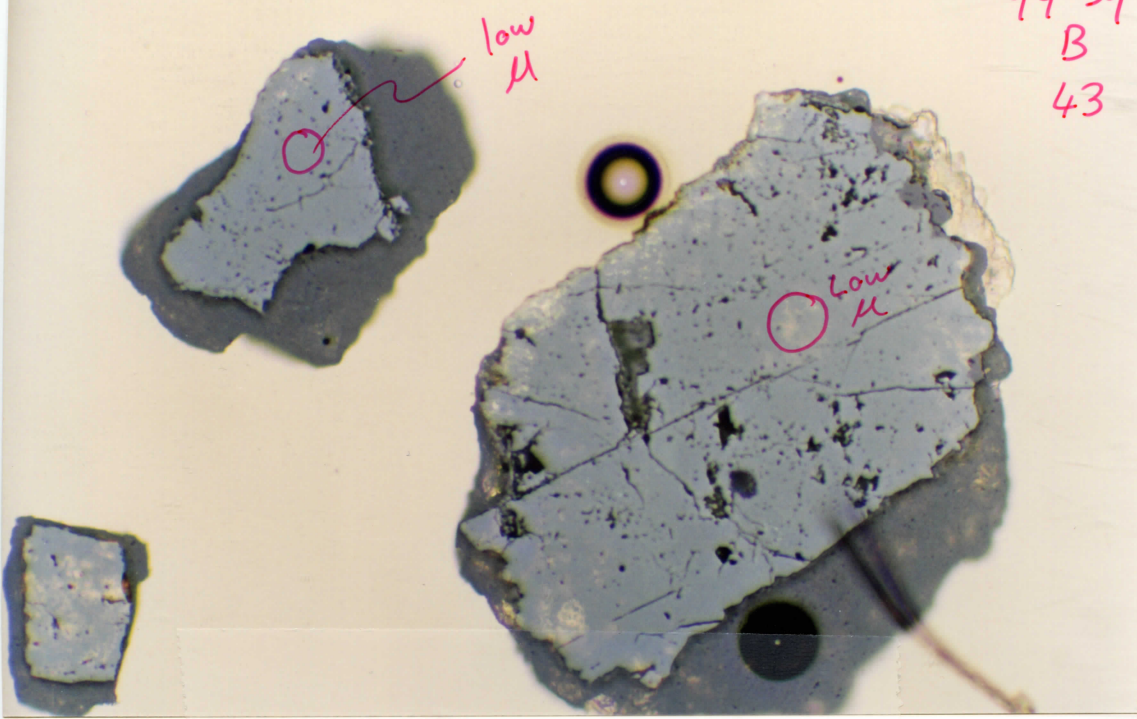
low
u



99-59
B
42



99-59
B
43

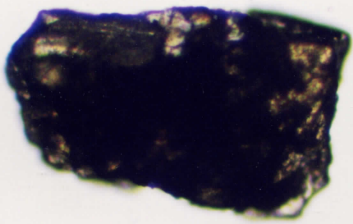
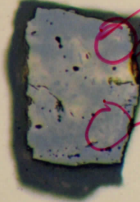
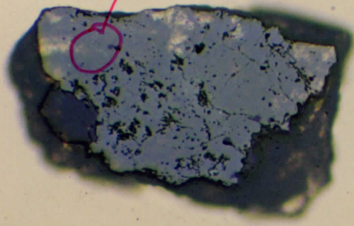


99-59

B

44

4-1



99-59
B
45

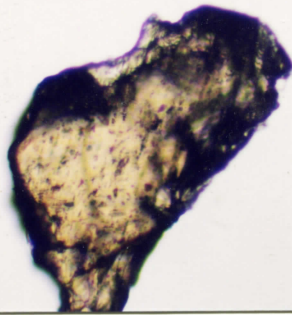
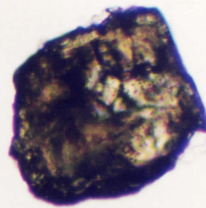
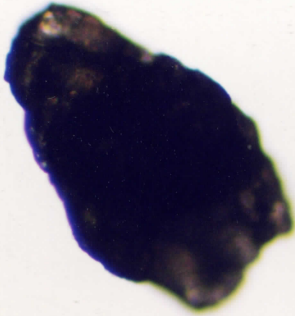
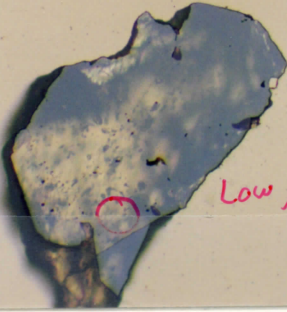
low
 μ



low
 μ



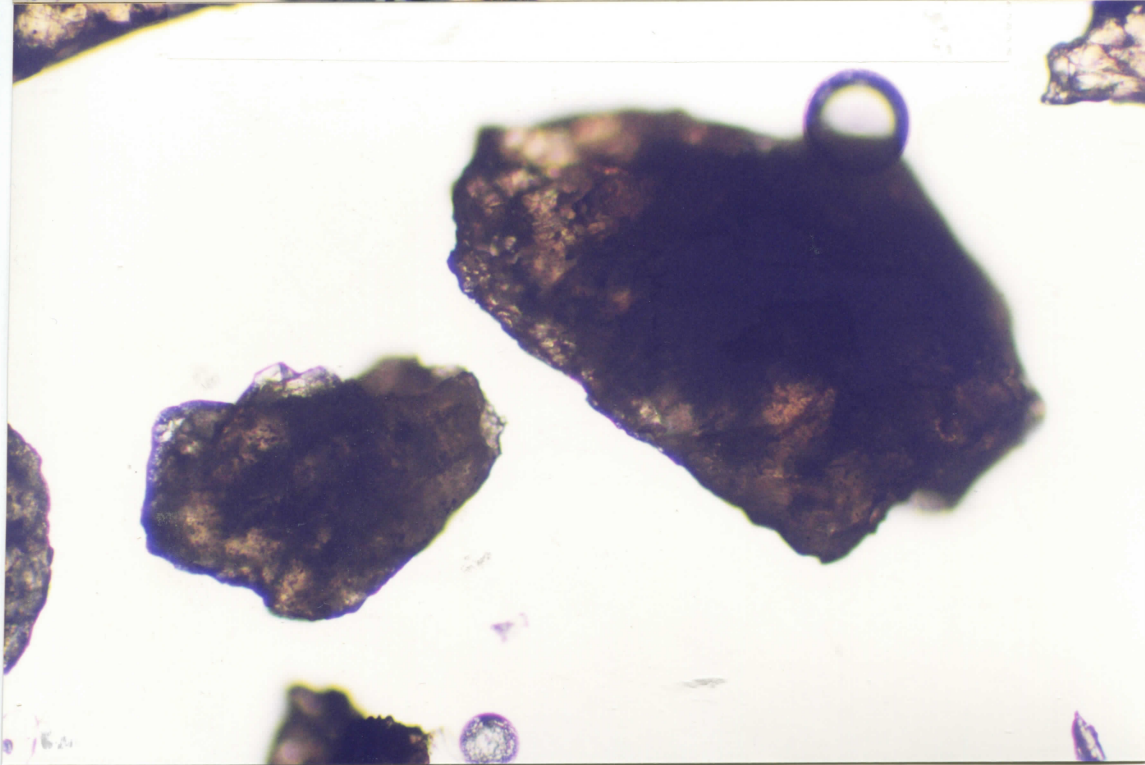
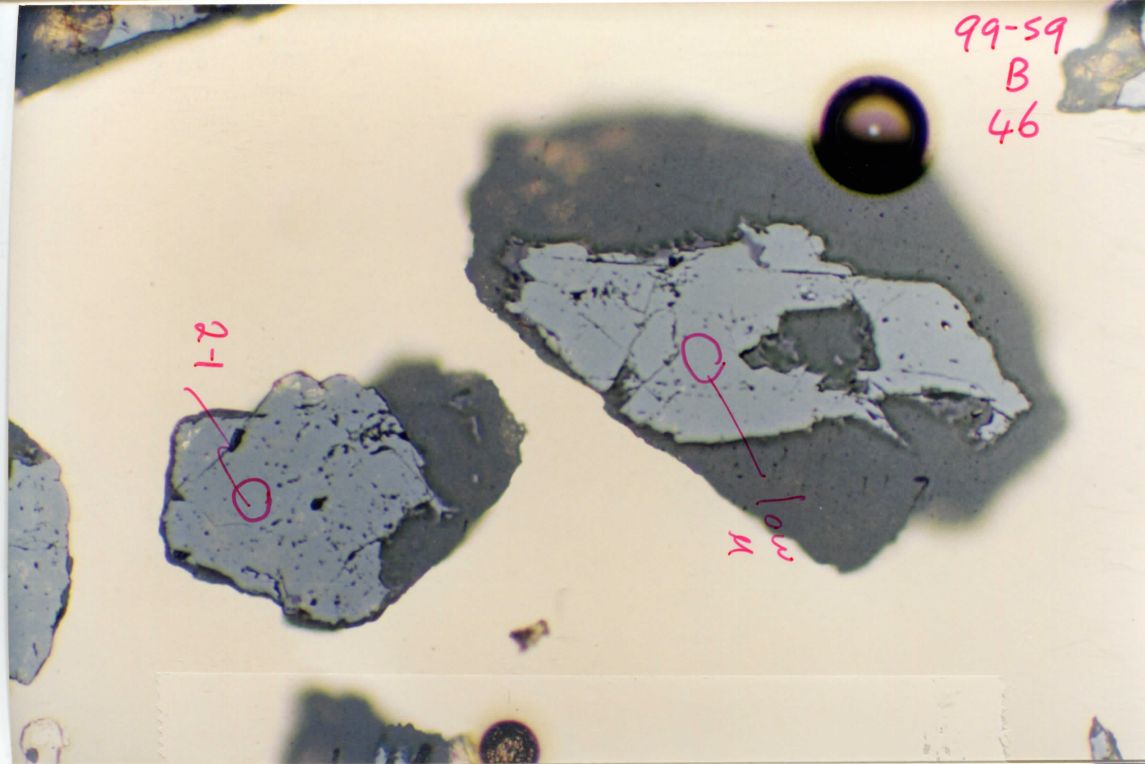
low μ



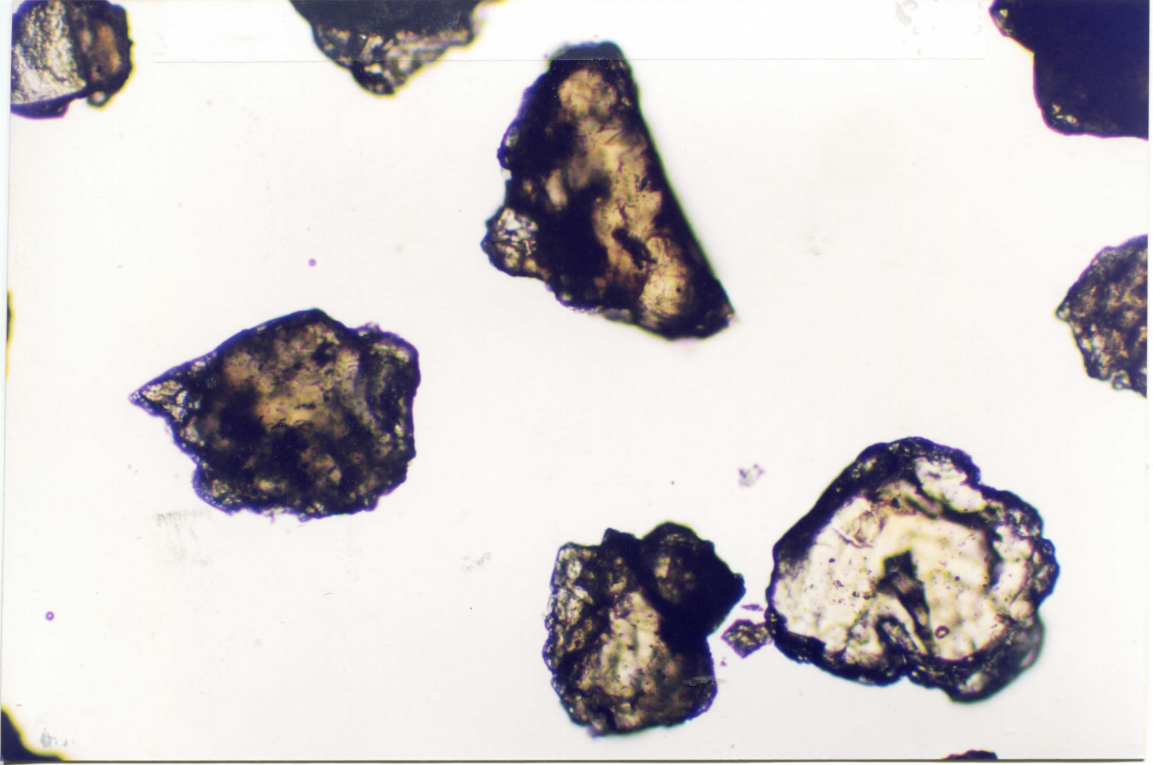
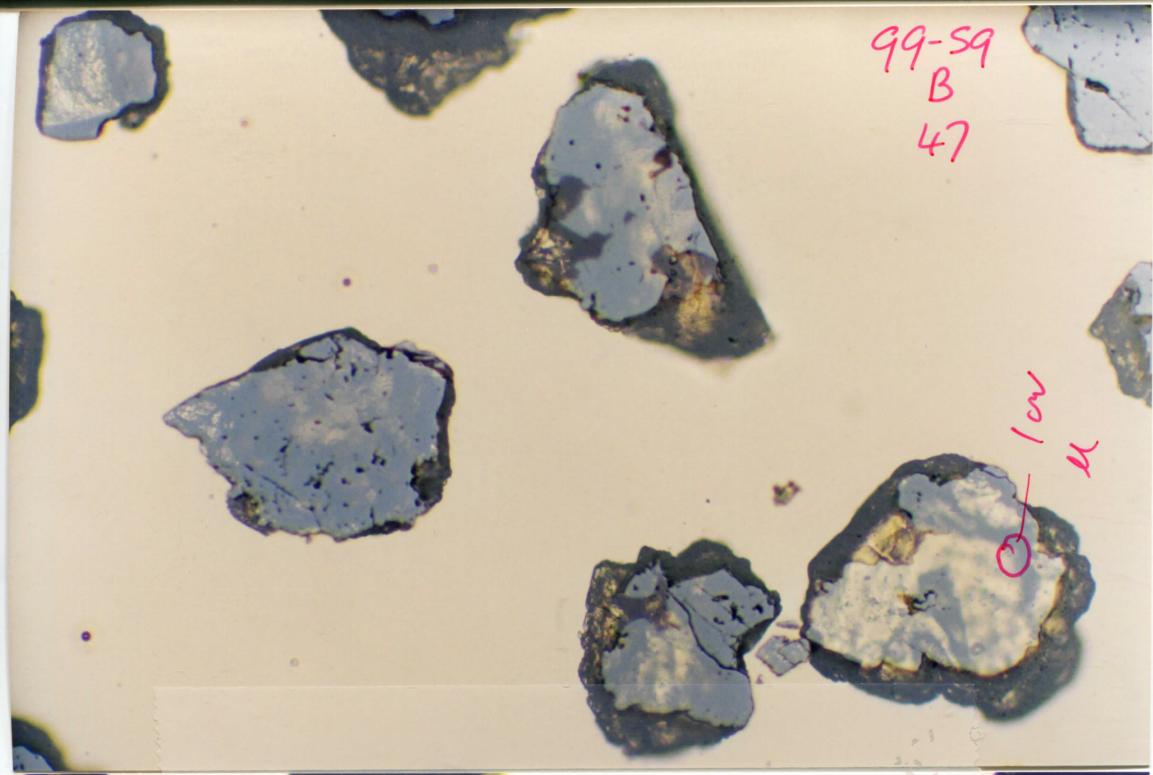
99-59
B
46

2-1

low



99-59
B
47

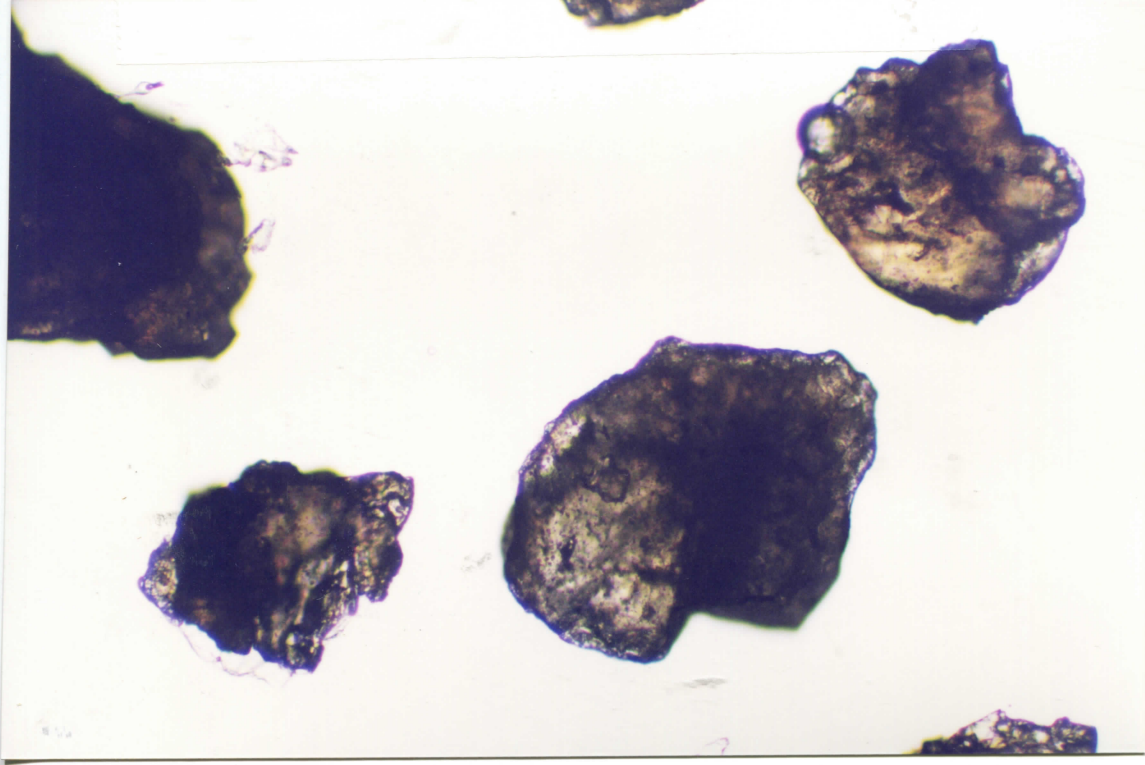
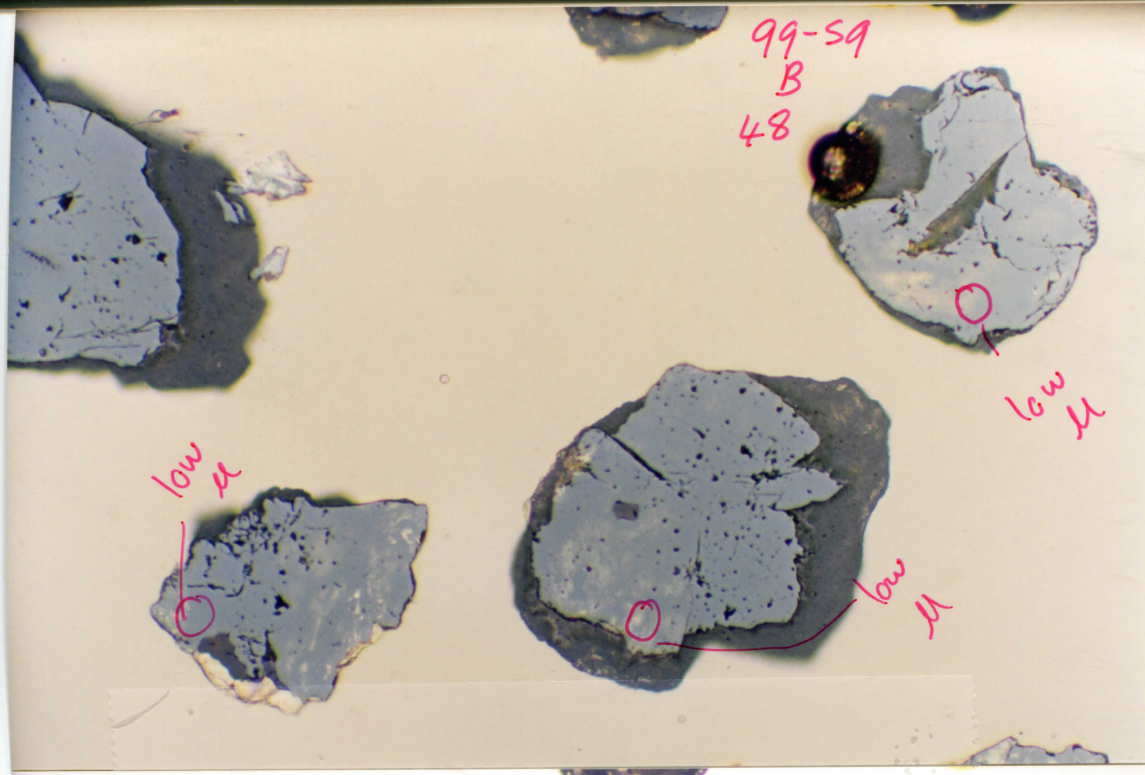


99-59
B
48

low
M

low
M

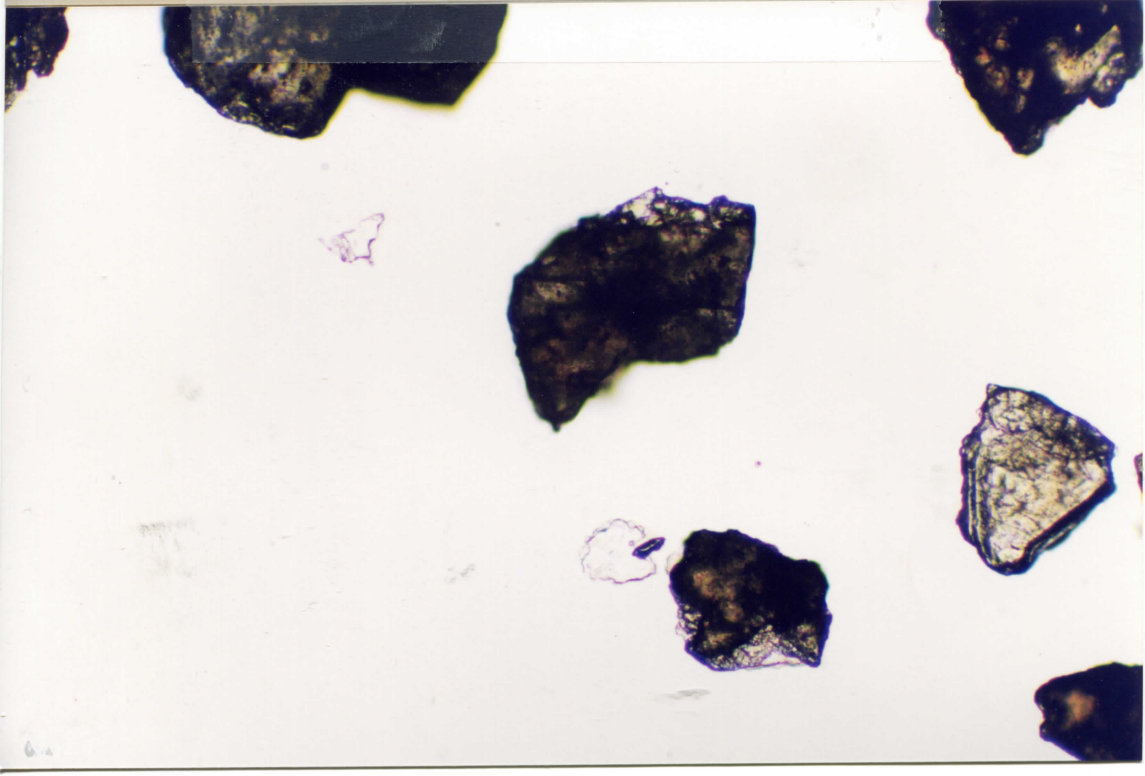
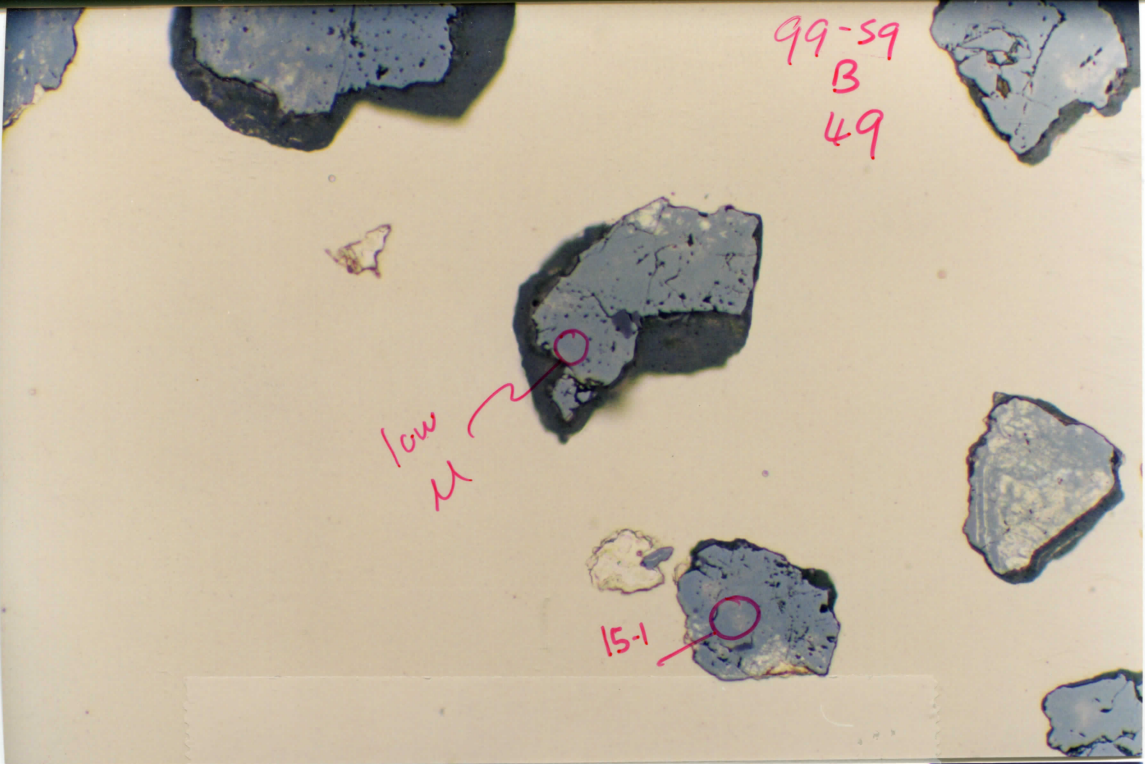
low
M



99-59
B
49

low
M

15-1

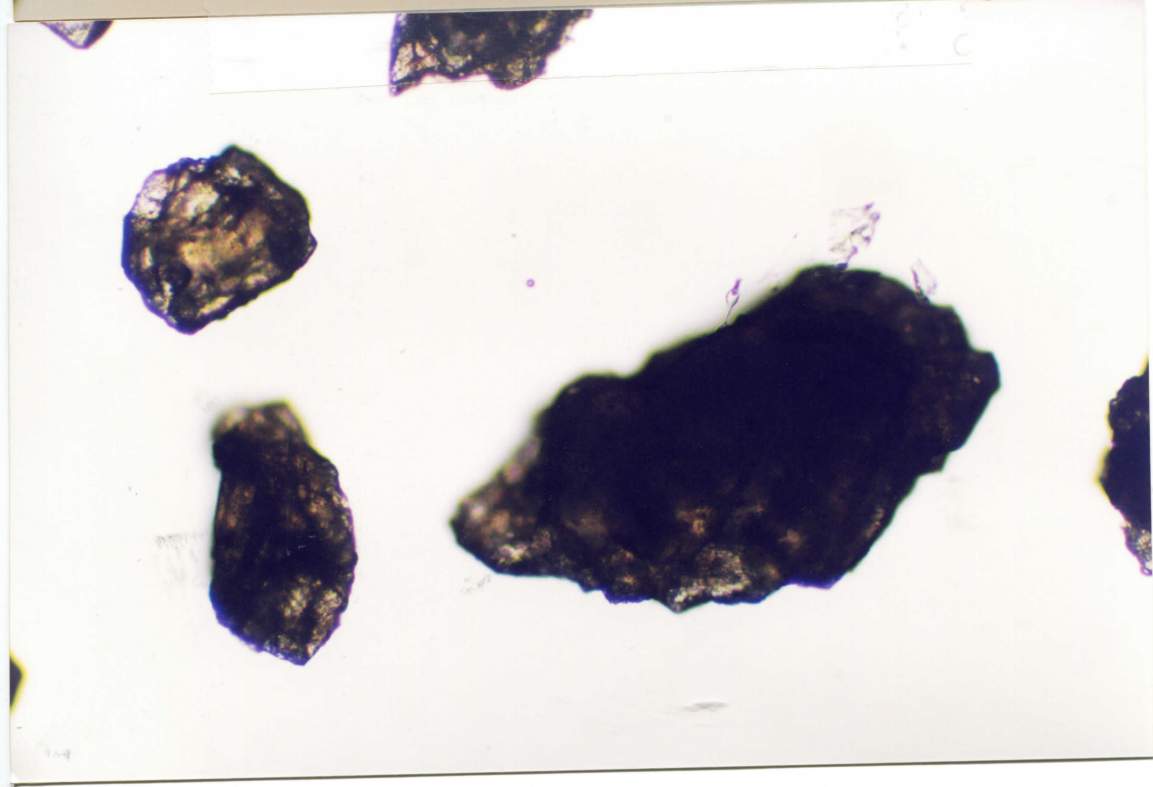
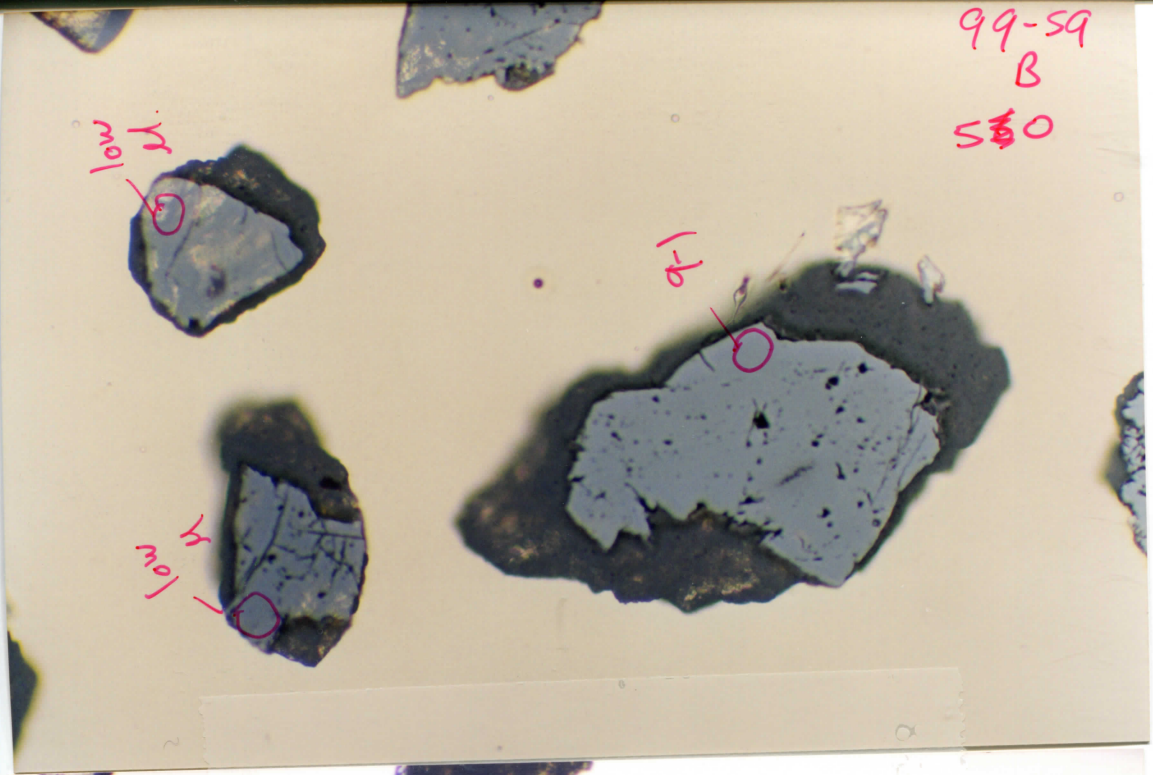


99-59
B
580

mol

1-6

low



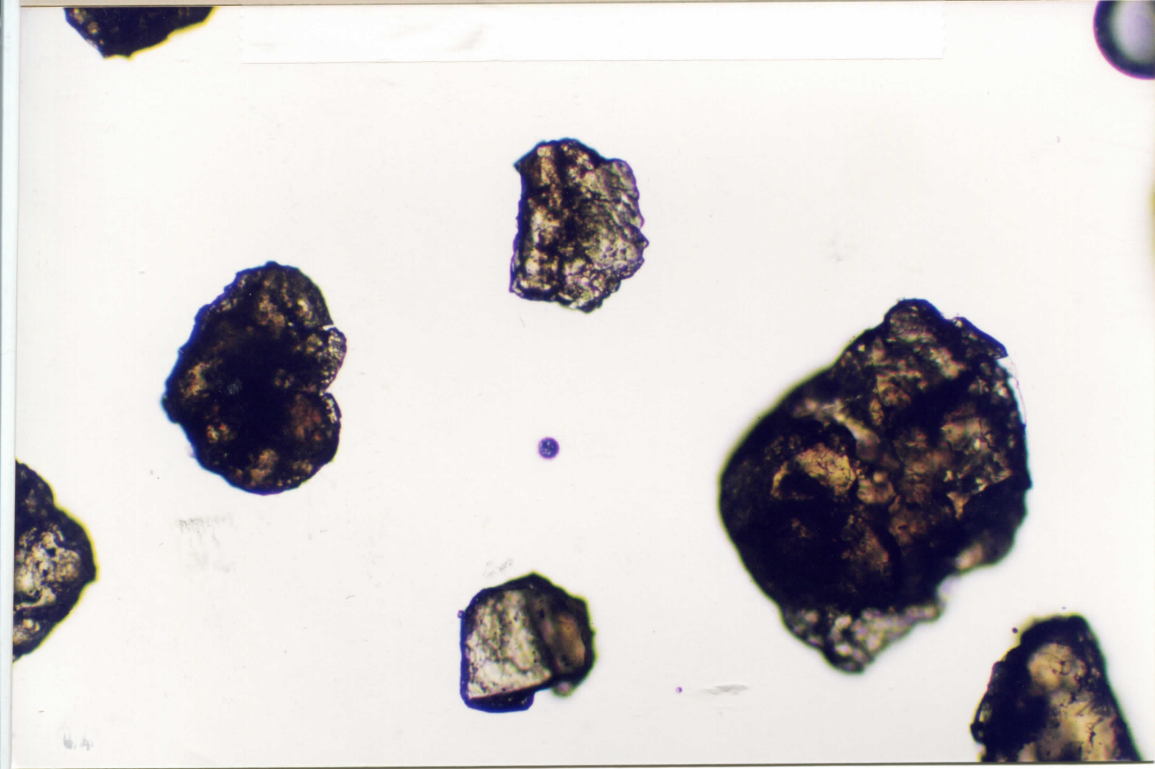
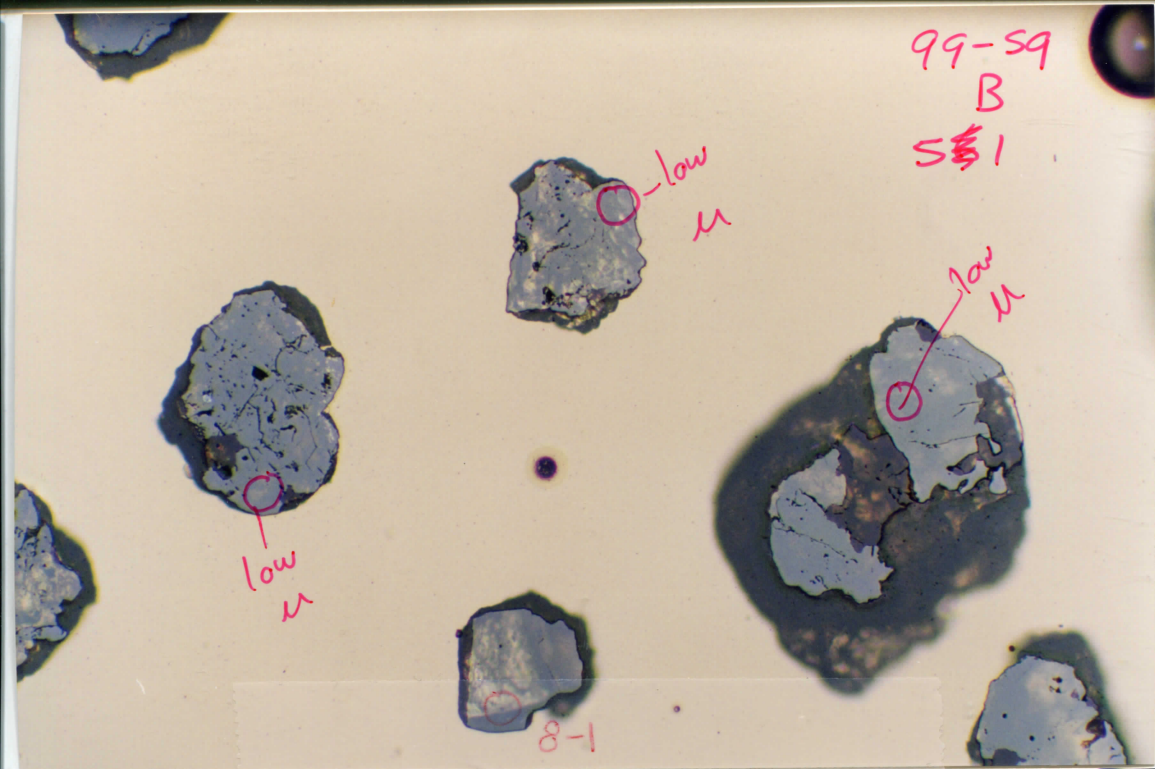
99-59
B
S§1

low
u

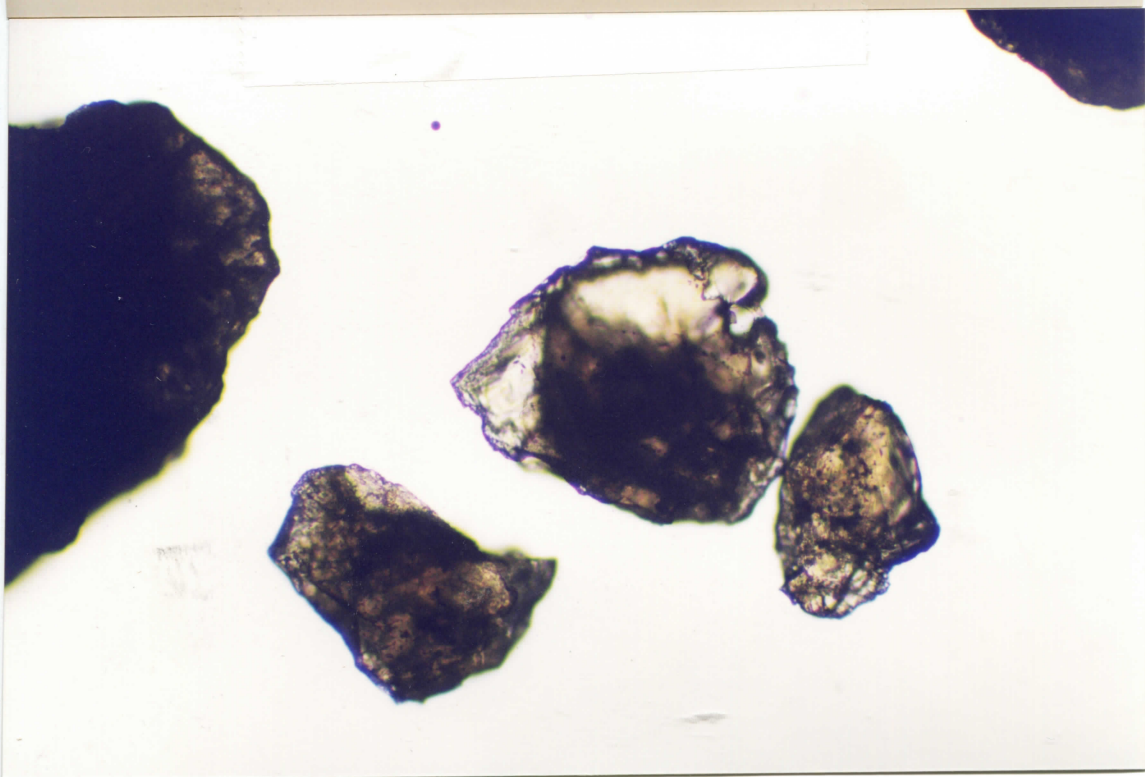
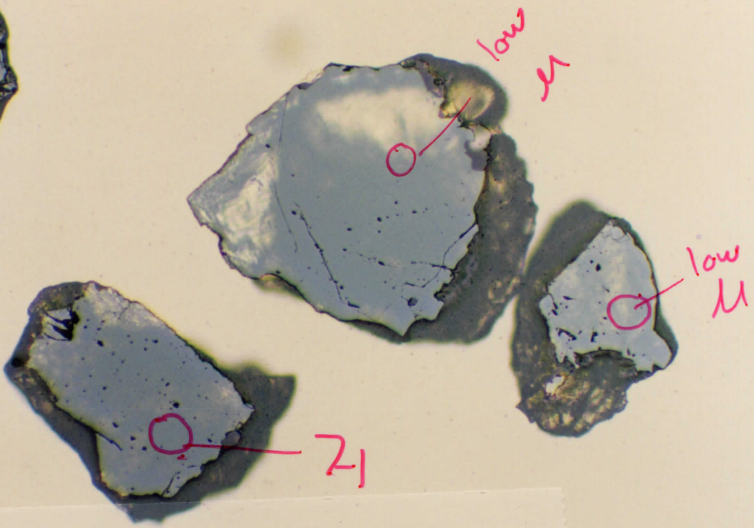
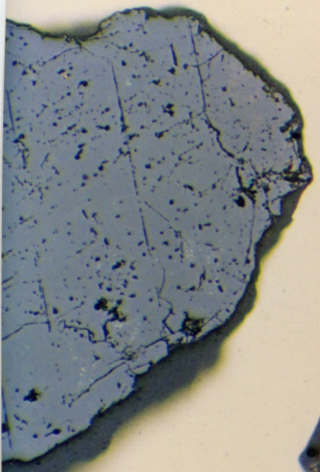
low
u

low
u

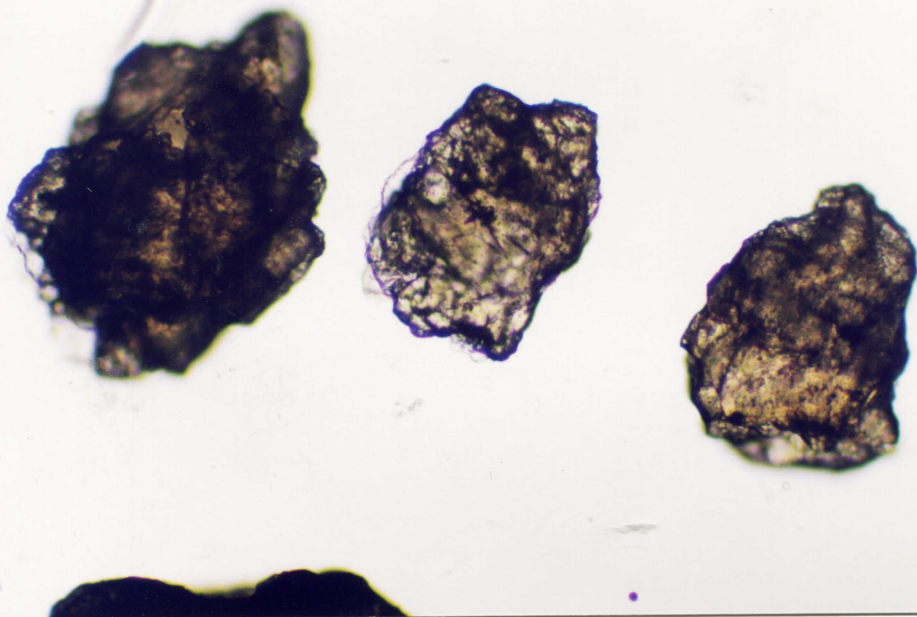
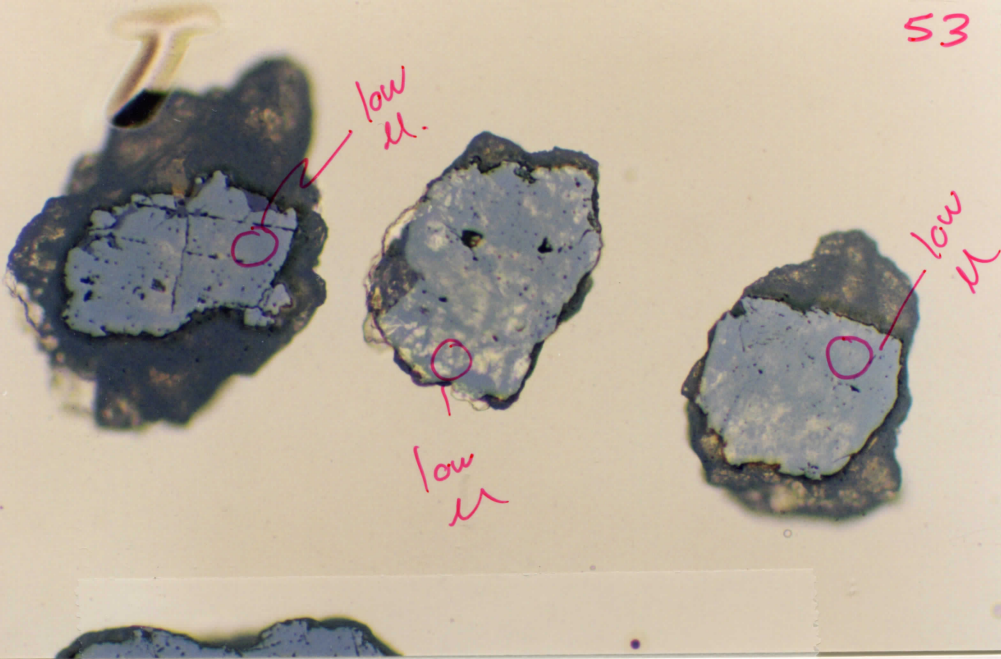
8-1



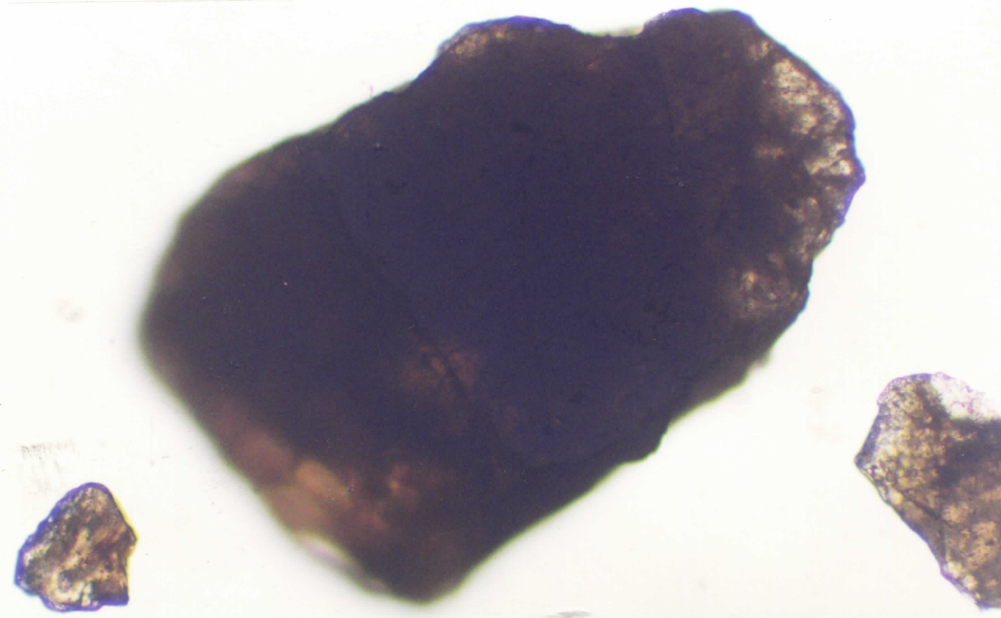
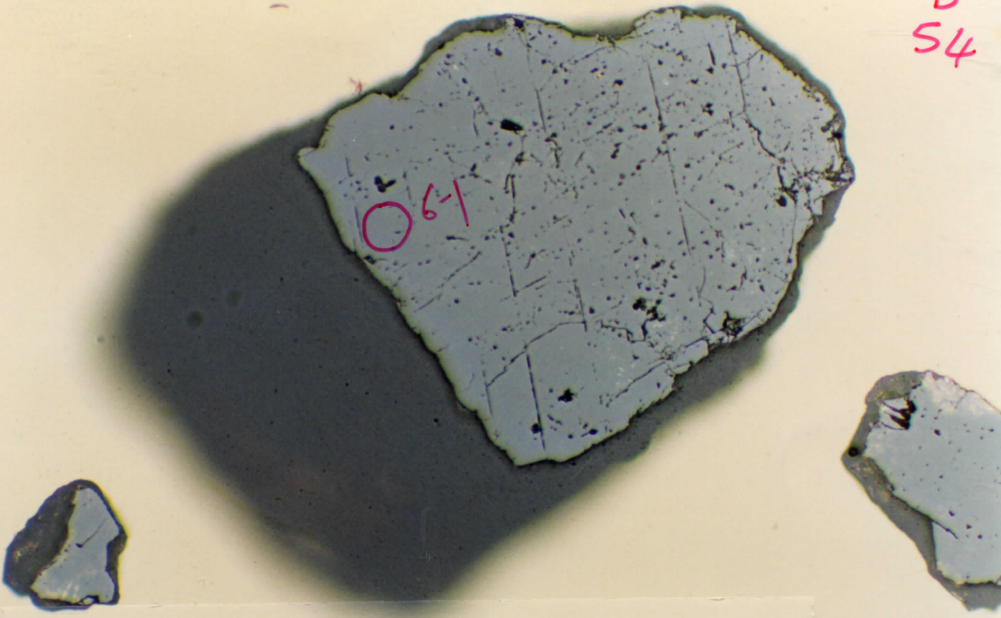
99-59
B
52



99-52
B
53



99-59
B
54



99-59
B
55

